

# MÉTODOS COMPUTACIONAIS PARA INFERÊNCIA ESTATÍSTICA

## 20º SINAPE

### Modelo Beta Misto

Paulo Justiniano Ribeiro Jr

Wagner Hugo Bonat

Elias Teixeira Krainski

Walmes Marques Zeviani

*LEG:Laboratório de Estatística e Geoinformação / UFPR / Brasil*

<http://www.leg.ufpr.br>  
e-mail:paulojus@ufpr.br

20º SINAPE  
20-21 de Julho, 2012

Modelo BetaMisto e Motivação

- Motivação: modelos de regressão para respostas em (0, 1)
    - IQVT
    - IQA
    - outras potenciais
  - Efeitos aleatórios:
    - variabilidade extra
    - estruturas de dependência (grupos, med. repetidas, longitudinais, espaciais, hierárquicos)

Regressão Beta

- Modelos Beta para obs independentes (Paolino, 2001 ; Kieschnick, 2003 ; Ferrari, 2004)
  - *a la* GLM
  - Extensões:
    - Simas, 2010 modela média e precisão por covariáveis,
    - preditores não-lineares.
    - avaliação do ajuste (verossimilhança) (Espinheira, 2008, 2008a; Rocha, 2010)
    - correções de viés (Vasconcellos, 2005; Ospina, 2006 e Simas, 2010)
    - Bayesiana (Branscum, 2007) em dados de distância genética entre vírus
    - pacote **betareg** (Cribari-Neto, 2010)
    - em séries temporais (McKenzie, 2007; Grunwald, 1993; Rocha, 2010)
    - Da-Silva, 2011: modelo beta Bayesiano dinâmico para séries temporais (taxa de desemprego mensal Brasileira)

## Objetivo

- Modelos de regressão beta com efeitos aleatórios:
    - superdispersão,
    - medidas repetidas,
    - estrutura longitudinal,
    - sub-parcelas,
    - dentre outras.
  - Estimabilidade
  - Comparação de modelos e inferência sobre parâmetros
  - Métodos numéricos (Laplace) e computacionalmente intensivos (*data-cloning*)
  - implementação computacional (avaliar e disponibilizar métodos e algorítimos)
  - aplicações

## Objetivo

- Modelos de regressão beta com efeitos aleatórios:
    - superdispersão,
    - medidas repetidas,
    - estrutura longitudinal,
    - sub-parcelas,
    - dentre outras.
  - Estimabilidade
  - Comparação de modelos e inferência sobre parâmetros
  - Métodos numéricos (Laplace) e computacionalmente intensivos (*data-cloning*)
  - implementação computacional (avaliar e disponibilizar métodos e algorítimos)
  - aplicações

## Objetivo

- Modelos de regressão beta com efeitos aleatórios:
    - superdispersão,
    - medidas repetidas,
    - estrutura longitudinal,
    - sub-parcelas,
    - dentre outras.
  - Estimabilidade
  - Comparação de modelos e inferência sobre parâmetros
  - Métodos numéricos (Laplace) e computacionalmente intensivos (*data-cloning*)
  - implementação computacional (avaliar e disponibilizar métodos e algorítimos)
  - aplicações

## Objetivo

- Modelos de regressão beta com efeitos aleatórios:
    - superdispersão,
    - medidas repetidas,
    - estrutura longitudinal,
    - sub-parcelas,
    - dentre outras.
  - Estimabilidade
  - Comparação de modelos e inferência sobre parâmetros
  - Métodos numéricos (Laplace) e computacionalmente intensivos (*data-cloning*)
  - implementação computacional (avaliar e disponibilizar métodos e algoritmos)
  - aplicações

## Objetivo

- Modelos de regressão beta com efeitos aleatórios:
    - superdispersão,
    - medidas repetidas,
    - estrutura longitudinal,
    - sub-parcelas,
    - dentre outras.
  - Estimabilidade
  - Comparação de modelos e inferência sobre parâmetros
  - Métodos numéricos (Laplace) e computacionalmente intensivos (*data-cloning*)
  - implementação computacional (avaliar e disponibilizar métodos e algoritmos)
  - aplicacões

## Objetivo

- Modelos de regressão beta com efeitos aleatórios:
    - superdispersão,
    - medidas repetidas,
    - estrutura longitudinal,
    - sub-parcelas,
    - dentre outras.
  - Estimabilidade
  - Comparação de modelos e inferência sobre parâmetros
  - Métodos numéricos (Laplace) e computacionalmente intensivos (*data-cloning*)
  - implementação computacional (avaliar e disponibilizar métodos e algoritmos)
  - aplicações

Beta

- $Y \sim B(\mu, \phi)$ , parametrização em termos de média e precisão:

$$f(y|\mu, \phi) = \frac{\Gamma(\phi)}{\Gamma(\mu\phi)\Gamma((1-\mu)\phi)} y^{\mu\phi-1} (1-y)^{(1-\mu)\phi-1}, \quad 0 < y < 1, \quad (1)$$

- $0 < \mu < 1$ ,  $\phi > 0$  (precisão) e  $\Gamma(\cdot)$  é a função gama.
  - $E(Y) = \mu$  e  $V(Y) = \frac{\mu(1-\mu)}{(1+\phi)^2}$ .

- Regressão Beta:

$$g(\mu_i) = \mathbf{x}_i^T \boldsymbol{\beta} = \eta_i \quad (2)$$

- parâmetros  $\beta = (\beta_1, \dots, \beta_k)^T$  ( $k \times 1$ )
  - covariáveis  $x_j = (x_{j1}, \dots, x_{jk})^T$
  - $\eta_i$  é o preditor linear, ligação *logit*  $g(\cdot) : (0, 1) \rightarrow \mathbb{R}$ ;  $g(\mu) = \log \mu / (1 - \mu)$ ,
  - outras possíveis ligações: *probit*, a complemento log-log e Cauchy (Cribari-Neto, 2010).

## Beta misto

- Modelo com efeitos aleatórios
  - (motivação: parcimônia, estruturas de dependência, etc)

$$f_i(y_{ij}|\mathbf{b}_i, \mu, \phi) = \frac{\Gamma(\phi)}{\Gamma(\mu_{ij}\phi)\Gamma((1-\mu_{ij})\phi)} y_{ij}^{\mu_{ij}\phi-1} (1-y_{ij})^{(1-\mu_{ij})\phi-1} \quad (3)$$

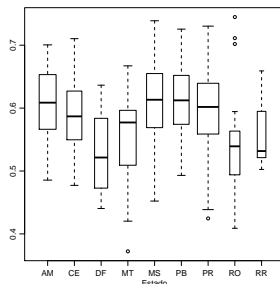
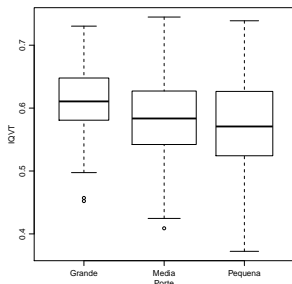
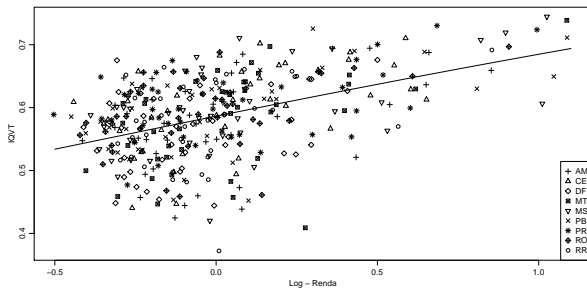
- $g(\mu_{ij}) = \mathbf{x}_{ij}^T \boldsymbol{\beta} + \mathbf{z}_{ij}^T \mathbf{b}_i$
  - $g(\cdot)$ ,  $\mathbf{x}_{ij}$ ,  $\boldsymbol{\beta}$  como anterior
  - $\mathbf{z}_{ij}$  vetor de covariáveis (ef. al.) de dimensão  $q$
  - $f(\mathbf{b}_i | \Sigma) \sim N(\mathbf{0}, \Sigma)$

- Independência condicional em  $b_j$

## IQVT

- 25 indicadores de 8 áreas temáticas:  
habitação, saúde, educação, saúde integral e segurança no trabalho,  
desenvolvimento de competências, atribuição de valor ao trabalho e orientação a  
participação e desempenho,
- Pesquisa Sesi por amostragem
- 8 estados + DF
- Respostas: Índice por indústria
- (outras informações : aspectos de qualidade de vida, gastos com benefícios  
sociais, etc)
- 2 covariáveis
  - renda média (log, centrada)
  - porte: grande (500+), média (100-500) e pequena (20 a 99)

## Descritiva



## O Modelo

- $Y_{ij} \sim B(\mu_{ij}, \phi)$  ;
- $g(\mu_{ij}) = (\beta_0 + b_{i1}) + \beta_1 Media + \beta_2 Pequena + (\beta_3 + b_{i2}) Renda;$
- $b_{ij} \sim NMV(\mathbf{0}, \Sigma)$  onde  $\Sigma = \begin{bmatrix} 1/\tau_1^2 & \rho \\ \rho & 1/\tau_2^2 \end{bmatrix}$  para  $j = 1, 2.$
- Estado como EA
- Ajustes de modelos e submodelos

## Verossimilhança (Marginal)



$$f_i(\mathbf{y}_i | \boldsymbol{\beta}, \Sigma, \phi) = \int \prod_{j=1}^{n_i} f_{ij}(y_{ij} | \mathbf{b}_i, \boldsymbol{\beta}, \phi) f(\mathbf{b}_i | \Sigma) d\mathbf{b}_i, \quad (4)$$

segue que a verossimilhança para  $\boldsymbol{\beta}$ ,  $\Sigma$  e  $\phi$  é dada por

$$L(\boldsymbol{\beta}, \Sigma, \phi) = \prod_{i=1}^N f_i(\mathbf{y}_i | \boldsymbol{\beta}, \Sigma, \phi) \quad (5)$$

- Estimação por métodos numéricos envolve integrações
- N integrais,  $N \times q$  integrais

# Métodos Numéricos e computacionais

## ● Inferência - I

- Soluções analíticas
- Soluções por aproximações numéricas
- Laplace, Quadraturas (Gaussianas, adaptativas, etc)
- Soluções por algoritmos de simulação Monte-Carlo
- Monte Carlo, Quasi Monte-Carlo
- Simulações via cadeias de Markov
- MCMC (verossimilhança ou Bayesiana)
- Data-cloning

## ● Inferência - II

- Aproximações quadráticas (Hessiano ou data-cloning)  $I_E$
- Verossimilhanças perfilhadas  $I_O$
- Crítico para veriâncias/precisão dos ef. aleatórios

## Data Cloning

- observações  $y_{ij}$  com  $i = 1, \dots, N$  blocos e  $j = 1, \dots, n_i$  repetições em cada bloco, são clonadas  $K$  – vezes por blocos, ou seja,  $N$  blocos passam a ser  $N \times K$  blocos.
- Dados clonados  $y_{ij}^K$
- verossimilhança clonada  $L(\beta, \Sigma, \phi)^K$
- mesmo máximo
- $K$  vezes a matriz de informação de Fisher

## Algoritmo DC



$$\pi_K(\beta, \Sigma, \phi | y_{ij}) = \frac{\left[ \int f_i(\mathbf{y}_i | \beta, \Sigma, \phi) f(\mathbf{b}_i | \Sigma) d\mathbf{b}_i \right]^K \pi(\beta) \pi(\Sigma) \pi(\phi)}{C(K; y_{ij})} \quad (6)$$

onde

$$C(K; y_{ij}) = \int \left[ \int f_i(\mathbf{y}_i | \beta, \Sigma, \phi) f(\mathbf{b}_i | \Sigma) d\mathbf{b}_i \right]^K \pi(\beta) \pi(\Sigma) \pi(\phi) d\beta d\Sigma d\phi \quad (7)$$

- priori torna-se irrelavante

## Predição



$$f_i(\mathbf{b}_i | \mathbf{y}_i, \boldsymbol{\beta}, \boldsymbol{\Sigma}, \phi) = \frac{f_i(\mathbf{y}_i | \mathbf{b}_i, \boldsymbol{\beta}, \phi) f(\mathbf{b}_i | \boldsymbol{\Sigma})}{\int f_i(\mathbf{y}_i | \mathbf{b}_i, \boldsymbol{\beta}, \phi) f(\mathbf{b}_i | \boldsymbol{\Sigma}) d\mathbf{b}_i} \quad (8)$$

- Bayes Empírico

# Ajustes

Tabela: Estimativas pontuais, logaritmo da verossimilhança maximizada e critério de informação de Akaike.

	Model.1	Model.2	Model.3	Model.4	Model.5
b0	0.3479	0.4451	0.4338	0.3962	0.3965
b1		-0.1050	-0.0878	-0.0723	-0.0724
b2		-0.1608	-0.1443	-0.1326	-0.1329
b3			0.4184	0.4703	0.4697
Phi	53.9700	56.7966	72.8577	94.1938	94.1905
Tau.U				62.3648	62.3464
Tau.V					51480.4778
Rho					0.8509
logLik	463.9274	473.2354	518.6716	553.5231	553.5252
AIC	-923.8548	-938.4708	-1027.3433	-1095.0462	-1091.0504

## VM e DC

Tabela: Estimativas pontuais e desvio padrão via Verossimilhança Marginal e dClone.

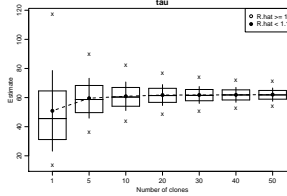
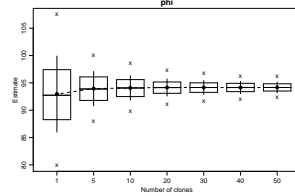
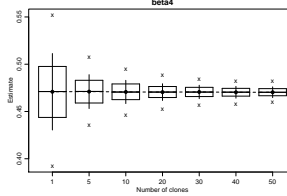
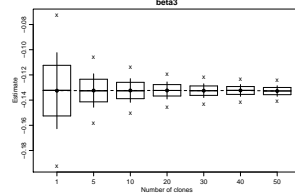
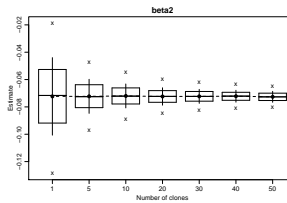
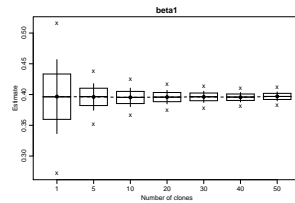
	Pt.Marginal	SD.Marginal	Pt.dclone	SD.dclone
b1	0.3962	0.0474	0.3970	0.0512
b2	-0.0723	0.0269	-0.0726	0.0283
b3	-0.1326	0.0288	-0.1328	0.0296
b4	0.4703	0.0393	0.4704	0.0402
phi	94.1938	7.0256	94.1683	6.9767
tau.U	62.3648	31.8706	62.0308	32.0805

## ICs

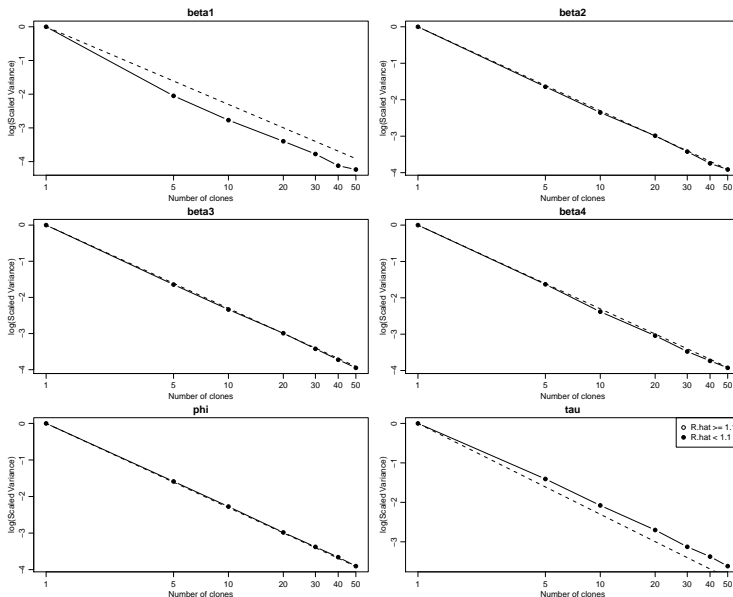
Tabela: Intervalos de confiança assintótico e baseado em perfil de verossimilhança.

	2.5 %	97.5 %	2.5 %	97.5 %
beta1	0.2967	0.4973	0.2918	0.4978
beta2	-0.1281	-0.0171	-0.1275	-0.0172
beta3	-0.1909	-0.0747	-0.1910	-0.0741
beta4	0.3916	0.5491	0.3931	0.5480
phi	80.4943	107.8424	81.0877	108.6460
tau	-0.8458	124.9074	19.7383	156.4794

# Estimabilidade I



# Estimabilidade II



## Comentários

- 1, 5, 10, 20, 30, 40 e 50 clones
- 3 cadeias com 5000 amostras retidas ao final
- Efeito de prioris
- precisão: priori Gama(0.1, 0.001)
- diagnóstico de estimabilidade : a taxa de queda da variância é  $\frac{1}{k}$

# Predição

Tabela: Valores preditos por estado, porte e renda. Entre parenteses diferença em percentual em relação a média.

ESTADO		R\$ 500,00	
	Grande	Média	Pequena
AM	52.91 (1.52)	51.11 (1.58)	49.6 (1.63)
CE	54.48 (4.52)	52.68 (4.7)	51.17 (4.85)
DF	46.5 (-10.77)	44.71 (-11.13)	43.23 (-11.43)
MT	50.82 (-2.49)	49.01 (-2.58)	47.51 (-2.65)
MS	54.22 (4.04)	52.42 (4.2)	50.92 (4.33)
PB	56.91 (9.2)	55.13 (9.58)	53.64 (9.9)
PR	53.83 (3.29)	52.03 (3.42)	50.52 (3.52)
RO	49.17 (-5.66)	47.36 (-5.86)	45.86 (-6.03)
RR	50.11 (-3.85)	48.31 (-3.99)	46.8 (-4.1)

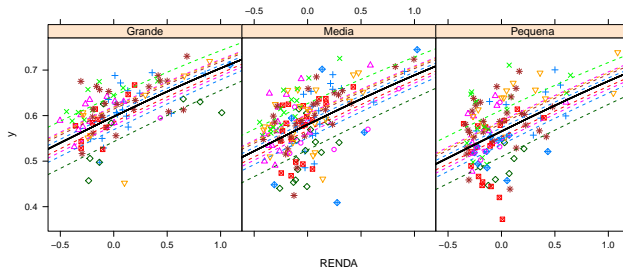
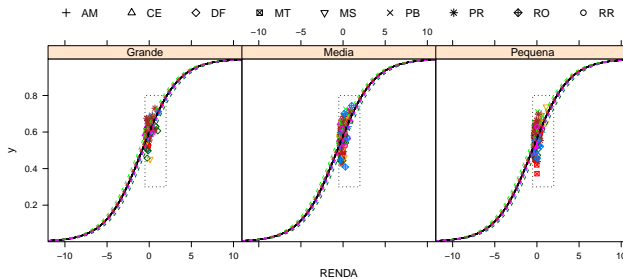
  

ESTADO		R\$ 2.500,00	
	Grande	Média	Pequena
AM	70.55 (0.95)	69.02 (1)	67.72 (1.04)
CE	71.84 (2.8)	70.35 (2.95)	69.08 (3.07)
DF	64.95 (-7.06)	63.29 (-7.39)	61.88 (-7.68)
MT	68.78 (-1.58)	67.21 (-1.66)	65.87 (-1.73)
MS	71.63 (2.51)	70.14 (2.64)	68.86 (2.75)
PB	73.79 (5.6)	72.37 (5.9)	71.15 (6.16)
PR	71.31 (2.04)	69.81 (2.15)	68.52 (2.24)
RO	67.34 (-3.64)	65.73 (-3.82)	64.36 (-3.97)

## Interpretações

- Acima da média: PB, MS, PR, AM, CE
- destaque positivo: PB 9.9% maior que a média nacional para pequeno porte e renda baixa
- destaque negativo: DF até 11.43% menor que a média geral.
- Diferenças/efeitos diminuem com aumento da renda (porte como o estado perdem importância)
- baixa renda: políticas de apoio
- mais alta renda: menos dependente dos benefícios, renda principal mantenedora de qualidade

# Predições



Questão central: avaliar impacto da UH na qualidade da água (licenciamento)

Dados:

- posição: Montante, Reservatório e Jusante
- tempo: coletas trimestrais
- usina: 16 usinas

Questões:

- sem casualização, replicações  
Abordagem: estudo observacional - modelo
- combinações dos fatores: muitos parâmetros  
Abordagem: Efeitos aleatórios

Questão central: avaliar impacto da UH na qualidade da água (licenciamento)

Dados:

- posição: Montante, Reservatório e Jusante
- tempo: coletas trimestrais
- usina: 16 usinas

Questões:

- sem casualização, replicações  
Abordagem: estudo observacional - modelo
- combinações dos fatores: muitos parâmetros  
Abordagem: Efeitos aleatórios

# Modelo

$$Y_{ijt} \sim \text{Beta}(\mu_{ijt}, \phi)$$

$$g(\mu_{ijt}) = \beta_0 + \beta_{1,i} + \beta_{2,t} + b_j + b_{j,t}$$

$$b_j \sim N(0, \tau_U^2)$$

$$b_{jt} \sim N(0, \tau_t^2)$$

## Comentários

- Modelo 6: dificuldades com integração numérica (MC, GH) devido a dimensão
  - Laplace também apresenta problemas incluindo tempo computacional
  - Data-clone é mais flexível
  - Estimativas pontuais próximas mas diferenças nos erros-padrão (assimetria?)
  - uso de perfil de verossimilhança
  - pseudo verossimilhanças
- 
- $M \rightarrow R : 5,39\%$
  - $M \rightarrow J : 3.55\%$
  - sugere comportamento cíclico
  - estrutura temporal? tempo contínuo?
  - combinar diferentes anos

## Comentários

- Modelo 6: dificuldades com integração numérica (MC, GH) devido a dimensão
- Laplace também apresenta problemas incluindo tempo computacional
- Data-clone é mais flexível
- Estimativas pontuais próximas mas diferenças nos erros-padrão (assimetria?)
- uso de perfil de verossimilhança
- pseudo verossimilhanças
- $M \rightarrow R : 5,39\%$
- $M \rightarrow J : 3.55\%$
- sugere comportamento cíclico
- estrutura temporal? tempo contínuo?
- combinar diferentes anos